

铝酸钠熔体 Monte Carlo 法计算机模拟研究

徐 驰* 李 明 陈念贻

(中国科学院上海冶金研究所, 上海 200050)

摘要 用计算机 Monte Carlo 法研究铝酸钠熔体结构。计算了径向分布函数和局部结构。表明 NaAlO_2 熔体是由畸变的共隅 AlO_4 四面体离子集团、 Na^+ 离子和 $x\text{Na}^+ \cdot y\text{O}^{2-}$ 离子集团所组成。

关键词: 铝酸钠熔体 计算机模拟 Monte Carlo 法

氧化铝生产熟料烧成过程中, 有以铝酸钠为组分的熔体形成。该熔体对熟料形成过程和熟料质量有重要影响^[1]。故熔体的结构和性质为铝冶金工作者所关心。但铝酸钠熔体熔点高, 腐蚀性强, 其结构与性质难于用实验准确测量。近年来, 计算机模拟方法 (Monte Carlo 法和分子动力学法。其中 Monte Carlo 法适用于熔体结构和平衡性质研究) 已广泛用于多种离子熔体(包括氧化物离子熔体)的结构和性质的模拟^[2]。我们用 Monte Carlo 法研究铝酸钠熔体的结构。

1 计算方法

选用 Born 势作为表达 Al^{3+} 、 O^{2-} 、 Na^+ 间作用势的函数

$$E_{ij} = \frac{z_i z_j}{r_{ij}} + \frac{b}{r_{ij}^n}$$

此处 $b = -z_i z_j (R_i + R_j)^{n-1}/n$; R_i 、 R_j 分别为各离子的 Pauling 半径。取 $n=7$ 。为防止两个离子过分重叠。规定 $r_{ij} < 0.7(R_i + R_j)$ 时 $E_{ij} = \infty$ 。

采用传统的 Metropolis 算法和周期性边界条件^[3]。立方元胞含 216 个离子。其中包括 54 个 Na^+ 、54 个 Al^{3+} 和 108 个 O^{2-} 。模拟温度取 1923°K 。计算开始时先令离子作任意分布, 然后发生随机数 ξ_1 、 ξ_2 、 ξ_3 ($-1 \leq \xi \leq +1$), 并令某一离子的 x 、 y 、 z 坐标按 $\xi_1 \Delta s$, $\xi_2 \Delta s$ 和 $\xi_3 \Delta s$ (Δs 为基本步长) 作随机位移, 计算位移前后能量差 ΔE 。若 $\Delta E \leq 0$ 则该次位移“有效”; 若 $\Delta E > 0$ 则由计算机发生随机数 ξ_4 。若 $\xi_4 \leq \exp(-\Delta E/kT)$ (此处 T 为热力学温度, k 为 Boltzmann 常数), 则该移动亦“有效”; 若 $\xi_4 > \exp(-\Delta E/kT)$ 则离子退还原处。按上述计算操作反复运算多次, 则体系总能量下降。经 2.9×10^5 次运算后, 体系趋于平衡。将平衡前数据弃去, 从平衡开始继续运算, 并将运算结果用于统计出熔体结构和性质的数

据。

调整元胞尺寸并计算平衡时压力,用内插法求得压力近于零时的元胞尺寸,由此算得其值为 1.45nm ,相当于熔体密度 $2.42\text{g}\cdot\text{cm}^{-3}$,并用此尺寸的元胞模拟常压下体系的结构和性质。

2 计算结果和讨论

2.1 Al-O 和 Na-O 偏径向分布函数

Al-O 和 Na-O 偏径向分布函数如图1。从图1可以看出: Al-O 偏径向分布函数第一峯在 0.175nm 处。第一峯外低谷在 0.285nm 处。根据第一峯面积计算, Al 的平均配位数为 3.96, 接近 NaAlO_2 晶体中的 Al 的配位数 $N = 4$, 这表明 NaAlO_2 熔化后 Al 的近程序变化不大。

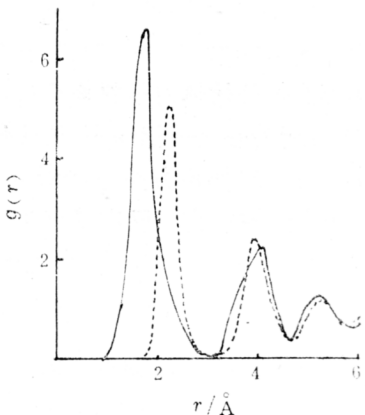


图1 NaAlO_2 熔体中离子的偏径向分布函数
Fig.1 Partial RDF of NaAlO_2 melt
— Al-O Na-O

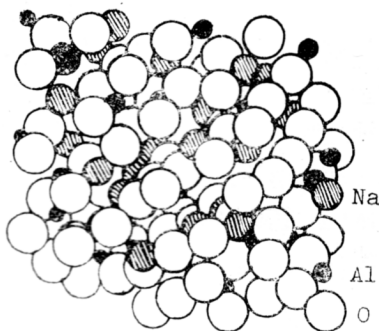


图2 NaAlO_2 熔体中离子瞬时排布一例
Fig.2 An example of instantaneous arrangement of ions in NaAlO_2 melt

2.2 熔体的局部结构

图2表示 NaAlO_2 熔体瞬时结构一例。

局部结构的统计表明: 在 Al-O 径向分布函数第一峯即 0.285nm 范围内, 各 O^{2-} 离子周围的 Al^{3+} 离子数目有较大的涨落。统计表明: O^{2-} 周围有一个 Al^{3+} 的占 25.8%, 有二个 Al^{3+} 的占 44.4%, 有三个 Al^{3+} 的占 20.4%, 有四个 Al^{3+} 的占 5.6%, 周围没有 Al^{3+} 的 O^{2-} 则占 3.8%。

X射线衍射结果表明: 固体化合物 NaAlO_2 的结构是以共隅 AlO_4 四面体网络为骨架, 在空隙中填充 Na^+ 形成^[4]。根据上述计算机模拟结果, 可以认为: (1) NaAlO_2 熔化后, Al^{3+} 的配位数仍接近 4, 多数 Al^{3+} 仍呈 AlO_4 四面体存在; (2) NaAlO_2 熔化后, Al-O-Al 结构仍占较大比例, 故多数 Al^{3+} 仍呈 AlO_4 共隅四面体存在; (3) NaAlO_2 熔化后, 小部分 O^{2-} 脱离 AlO_4 四面体, 形成一些仅由 Na^+ 和 O^{2-} 组成的离子集团 $z\text{Na}^+ \cdot y\text{O}^{2-}$ 。

2.3 Na^+ 离子的势能分布

NaAlO_2 熔体中 Na^+ 离子的势能分布图如图3(纵轴为相对丰度)。

Na^+ 离子的势能分布似有两个峰值。可能反映存在微环境不同的两种 Na^+ 离子的势能。例如: AlO_4 附近的 Na^+ 离子和 $x\text{Na}^+ \cdot y\text{O}^{2-}$ 集团中的 Na^+ 离子的势能。前者因 Al^{3+} 和 Na^+ 间的静电排斥势,势能应为较小的负值。

值得注意的是: NaAlO_2 熔体中多数 Na^+ 离子势能为较小的负值。这说明 AlO_4 四面体共隅形成的离子集团只能提供较弱的负电场。简单的静电能估算表明^[5]:
 SiO_4^{4-} 附近的负电场要强得多。因此容易理解:半径与 Na^+ 相近,但正电荷大一倍的 Ca^{2+} 离子在 $\text{Ca}_2\text{SiO}_4-\text{NaAlO}_2$ 系中优先与 SiO_4^{4-} 结合,使 $\text{Ca}_2\text{SiO}_4-\text{NaAlO}_2$ 成为 $\text{Ca},\text{Na}|\text{SiO}_4$, AlO_2 互易系中的稳定对,而这正是碱石灰烧结法提炼氧化铝的理论基础。

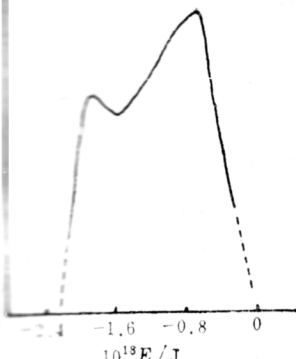


图3 NaAlO_2 熔体中 Na^+ 离子能量分布
Fig.3 Distribution of energy of Na^+ ions in NaAlO_2 melt

参考文献

- 1 陈念贻。氧化铝生产的物理化学,上海:上海科技出版社,1962
- 2 陈念贻。熔盐结构和熔盐量子化学(熔盐化学——原理及应用)第一章,段淑贞,乔芝郁主编,北京:冶金工业出版社,1990
- 3 Binder K. Monte Carlo Method in Statistical Physics, Berlin: Springer-Verlag, 1981
- 4 Barth F W. *Journal of Chemical Physics*, 1935, 3: 323
- 5 Капустинский К Б. Термохимия Комплексных Соединений, Изд. АН СССР. Москва 1951

COMPUTERIZED SIMULATION OF THE STRUCTURE OF NaAlO_2 MELTS

Xu Chi* Li Ming Chen Nianyi

(Shanghai Institute of Metallurgy, Academia Sinica, Shanghai 200050)

ABSTRACT

The structure of NaAlO_2 melt has been studied by computer simulation using Monte Carlo method. The RDF and local structure are obtained by calculation. It has been found that the NaAlO_2 melt consists of ionic clusters formed by sharing the corners of AlO_4 tetrahedra, sodium ions and $x\text{Na}^+ \cdot y\text{O}^{2-}$ clusters.

Keywords: NaAlO_2 melt, Computerized simulation, Monte Carlo method